

DD 83 S, DD 84 S

Elektrische Eigenschaften**Electrical properties****Höchstzulässige Werte****Maximum rated values**

Periodische Spitzensperrspannung	repetitive peak reverse voltage	$t_{vj} = -40^\circ\text{C} \dots t_{vj\max}$	V_{RRM}	DD 83 S:	1000	V
					1200	V
					1400	V
Stoßspitzenspannung	non repetitive peak reverse voltage	$t_{vj} = +25^\circ\text{C} \dots t_{vj\max}$	$V_{RSM} = V_{RRM}$	DD 84 S:	400	V
					600	V
Durchlaßstrom-Grenzeffektivwert	RMS forward current		I_{FRMSM}		800	V
Dauergrenzstrom	average forward current	$t_c = 100^\circ\text{C}$ $t_c = 88^\circ\text{C}$	I_{FAVM}		1000	V
Stoßstrom-Grenzwert	surge current	$t_{vj} \leq 25^\circ\text{C}, t_p = 10 \text{ ms}$ $t_{vj} = t_{vj\max}, t_p = 10 \text{ ms}$	I_{FSM}		150	A
Grenzlastintegral	/i ² dt-value	$t_{vj} \leq 25^\circ\text{C}, t_p = 10 \text{ ms}$ $t_{vj} = t_{vj\max}, t_p = 10 \text{ ms}$	$\int i^2 dt$		2300	A
					1900	A
					26500	A ² s
					18000	A ² s

Charakteristische Werte**Characteristic values**

Durchlaßspannung	forward voltage	$t_{vj} = t_{vj\max}, i_F = 300 \text{ A}$	V_F	max.	1,55	V	
Schleusenspannung	threshold voltage		$V_{(TO)}$		0,95	V	
Ersatzwiderstand	slope resistance		r_T		1,7	mΩ	
Sperrstrom	reverse current	$t_{vj} = t_{vj\max}, V_R = V_{RRM}$	i_R	max.	40	mA	
Nachlaufladung	lag charge	$t_{vj} = t_{vj\max}, i_{FM} = 120 \text{ A}$ $-di/dt = 100 \text{ A}/\mu\text{s}$	DD 83 S: DD 84 S:	Q _S	max.	46	μAs
Isolations-Prüfspannung	insulation test voltage	RMS, f = 50 Hz, t = 1 min		Q _S	max.	25	μAs
						2,5	kV

Thermische Eigenschaften**Thermal properties**

Innerer Wärmewiderstand	thermal resistance, junction to case	$\theta = 180^\circ\text{el, sinus: pro Modul/per module}$ DC: $\theta = 180^\circ\text{el, sinus: pro Zweig/per arm}$ pro Modul/per module pro Zweig/per arm	R_{thJC}	max.	0,24	°C/W
Übergangs-Wärmewiderstand	thermal resistance, case to heatsink	pro Modul/per module pro Zweig/per arm	R_{thCK}	max.	0,08	°C/W
Höchstzul. Sperrsichttemperatur	max. junction temperature			$t_{vj\max}$		150°C
Betriebstemperatur	operating temperature			t_{cop}		-40°C ... +150°C
Lagertemperatur	storage temperature			t_{sig}		-40°C ... +150°C

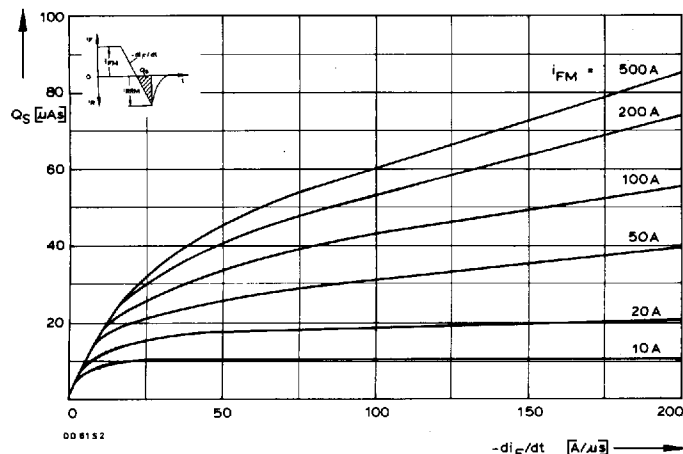
Mechanische Eigenschaften**Mechanical properties**

Si-Elemente mit Druckkontakt	Si-pellets with pressure contact					
Innere Isolation	internal insulation					AlN
Anzugsdrehmomente	tightening torques					
mechanische Befestigung	mounting torque	Toleranz/tolerance ± 15%	M1		4	Nm
elektrische Anschlüsse	terminal connection torque	Toleranz/tolerance + 5%/-10%	M2		4	Nm
Gewicht	weight		G		typ.	200 g
Kriechstrecke	creepage distance				12,5	mm
Schwingfestigkeit	vibration resistance	f = 50 Hz			5 · 9,81	m/s ²
Maßbild	outline					4

DD 83 S, DD 84 S können auch mit gemeinsamer Anode oder gemeinsamer Kathode geliefert werden.

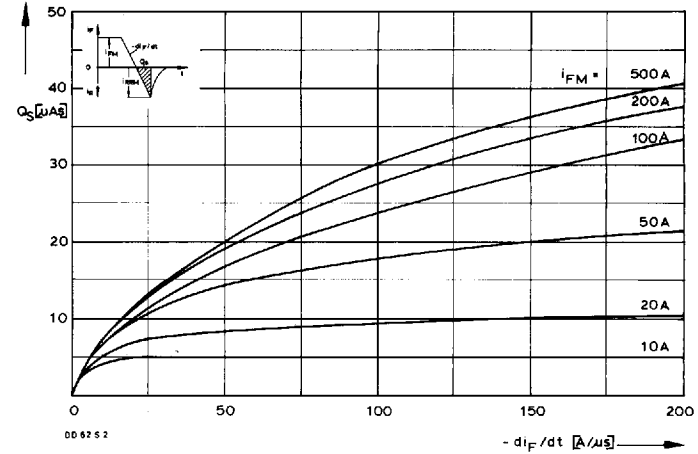
DD 83 S, DD 84 S can also supplied with common anode or common cathode.

DD 83 S, DD 84 S



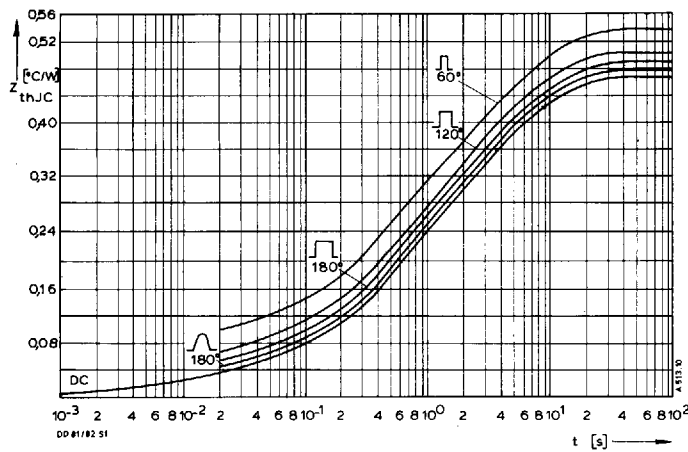
Bild/Fig. 1 DD 83 S

Typische Abhängigkeit der oberen Nachlaufladung Q_S von der abkommunizierenden Stromsteilheit $-di_F/dt$ bei $t_{vj} = t_{vj \max}$.
Typical relationship between the maximum lag charge Q_S and the rate of decay of forward current $-di_F/dt$ at $t_{vj} = t_{vj \max}$.



Bild/Fig. 2 DD 84 S

Typische Abhängigkeit der oberen Nachlaufladung Q_S von der abkommunizierenden Stromsteilheit $-di_F/dt$ bei $t_{vj} = t_{vj \max}$.
Typical relationship between the maximum lag charge Q_S and the rate of decay of forward current $-di_F/dt$ at $t_{vj} = t_{vj \max}$.



Bild/Fig. 3 DD 83 S, DD 84 S

Transienter innerer Wärmewiderstand $Z_{(th)JC}$ je Zweig bei sinus- und trapezförmigem Stromverlauf.
Transient thermal impedance $Z_{(th)JC}$, junction to case per arm at sinusoidal and trapezoidal current waveform.

Pos. n	1	2	3	4	5
R_{thn} [$^\circ\text{C}/\text{W}$]	0,01	0,0294	0,108	0,1796	0,1425
τ_n [s]	0,0011	0,0159	0,352	1,54	8,55

$$Z_{thJC} = \sum_{n=1}^{n_{\max}} R_{thn} (1 - e^{-t/\tau_n})$$

Transienter Wärmewiderstand Z_{thJC} pro Zweig für DC.
Transient thermal impedance Z_{thJC} per arm for DC.